

**Détection quantique** : Signal quantique  $\equiv$  opérateur densité  $\rho$  sur espace de Hilbert complexe  $\mathcal{H}$ .

Deux préparations possibles  $\rho = \rho_0$  ou  $\rho = \rho_1$ , avec les probabilités a priori  $P_0$  ou  $P_1 = 1 - P_0$ .

**Altération par un bruit quantique** (décohérence) :  $\rho \mapsto \mathcal{N}(\rho)$  délivrant un signal quantique (opérateur densité) bruité  $\mathcal{N}(\rho)$ .

**Détecteur** mesure  $\mathcal{N}(\rho)$  par 2 opérateurs de mesure  $\{M_0, M_1\}$  décomposant l'identité de  $\mathcal{H}$  via  $M_0 + M_1 = \text{Id}$ .

Probabilité de décision  $\Pr\{M_k|\rho_j\} = \text{tr}(M_k\rho_j) \implies$  probabilité d'erreur de détection  $P_{\text{er}} = \text{tr}(M_1\rho_0)P_0 + \text{tr}(M_0\rho_1)P_1$ .

**Détecteur optimal** minimise  $P_{\text{er}}$  via l'opérateur de test  $T = P_1\mathcal{N}(\rho_1) - P_0\mathcal{N}(\rho_0)$

et  $M_1^{\text{opt}}$  projecteur orthogonal sur le sous-espace propre des valeurs propres positives de  $T$ , et  $M_0^{\text{opt}} = \text{Id} - M_1^{\text{opt}}$ ,

atteint la probabilité d'erreur minimale  $P_{\text{er}}^{\text{min}} = [1 - \text{tr}(|T|)]/2$ .

## Détection sur un qubit bruité :

Dans le plan  $\mathcal{H}$ , en représentation de Bloch, opérateur densité  $\rho = (\text{Id} + \vec{r} \cdot \vec{\sigma})/2$ , de vecteur de Bloch  $\vec{r} \in \mathbb{R}^3$ .

**Bruit thermique quantique** : Transformation affine dans  $\mathbb{R}^3$  à 2 paramètres  $(p(T), \gamma)$  réalisant  $\vec{r} \mapsto A(\gamma)\vec{r} + (2p - 1)\gamma\vec{e}_z$ .

Opérateur de test  $T = [(P_1 - P_0)\text{Id} + \vec{r} \cdot \vec{\sigma}]/2$  caractérisé par le vecteur de Bloch de test  $\vec{r} = A(P_1\vec{r}_1 - P_0\vec{r}_0) + (P_1 - P_0)(2p - 1)\gamma\vec{e}_z$ , à 2 valeurs propres  $\lambda_{\pm} = (P_1 - P_0 \pm \|\vec{r}\|)/2$ , et 2 états propres orthogonaux  $|\lambda_{\pm}\rangle$  de vecteurs de Bloch  $\pm\vec{r}/\|\vec{r}\|$ .

Le détecteur optimal  $\{M_0^{\text{opt}}, M_1^{\text{opt}}\}$  atteint la probabilité d'erreur minimale  $P_{\text{er}}^{\text{min}} = (1 - \|\vec{r}\|)/2$ .

## Processeur quantique :

Utilisable en ligne sur :

IBM Quantum Computing Platform

<https://quantum-computing.ibm.com>

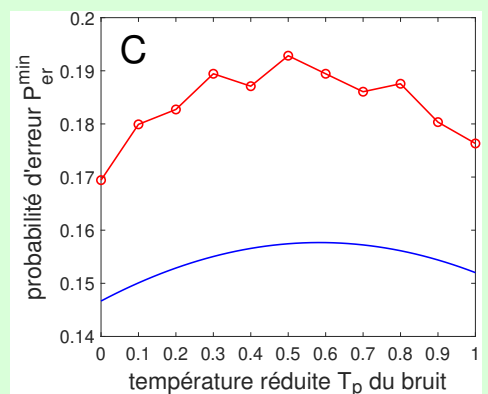
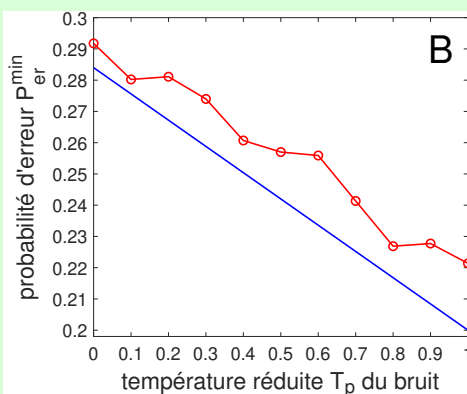
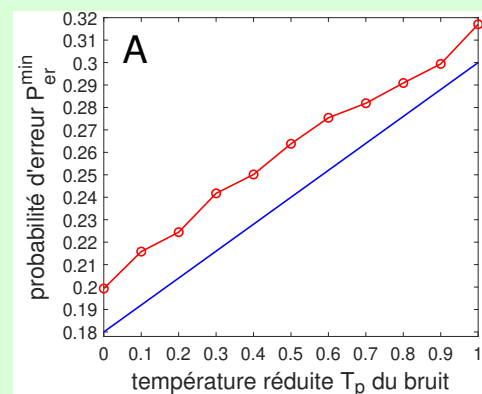
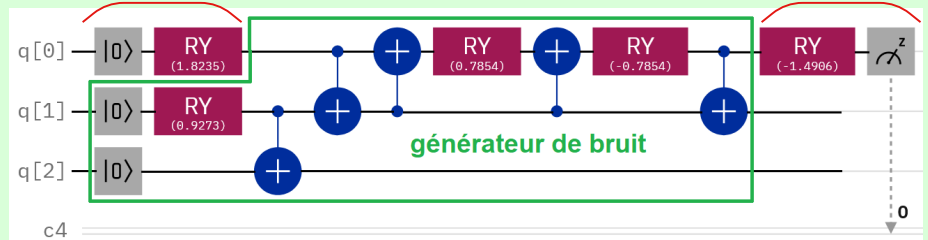
Entrée : 2 états purs  $\perp$  :  $\{|\psi_0\rangle, |\psi_1\rangle\}$ .

Bruit :  $(p(T), \gamma)$  contrôlables.

Évaluation expérimentale de  $P_{\text{er}}^{\text{min}}$ .

choix du signal d'entrée

détecteur optimal



(A) avec  $P_0 = 0.3$ ,  $\vec{r}_1 = [0, 0, 1]^T = \vec{e}_z = -\vec{r}_0$  et  $\gamma = 0.6$ ; (B) avec  $P_0 = 0.3$ ,  $\vec{r}_1 = [0, 0, -1]^T = -\vec{e}_z = -\vec{r}_0$  et  $\gamma = 0.4$ ;  
(C) avec  $P_0 = 0.2$ ,  $\vec{r}_1 = [\sqrt{1-0.25^2}, 0, -0.25]^T = -\vec{r}_0$  et  $\gamma = 0.5$ .

On vérifie 3 régimes d'évolution de la performance  $P_{\text{er}}^{\text{min}}$  avec l'augmentation de la température de bruit, comme prévu dans [1].

[1] N. Gillard, E. Belin, F. Chapeau-Blondeau, "Qubit state detection and enhancement by quantum thermal noise," *Electronics Letters*, vol. 54, pp. 38–39, 2018.